

11MAMY – Cvičení 3

Modelování pomocí obyčejných diferenciálních rovnic
část druhá

Jan Příkryl, Jakub Ševčík, Martin Janda

ČVUT FD (Příkryl), ZČU FEL (Příkryl, Ševčík, Janda)

23. února 2023

Obsah cvičení

Ověčky a vlci

RLC obvod

Stabilita Eulerovy metody

Implicitní versus explicitní Eulerova metoda

Úvodní poznámky

Toto cvičení využívá z části předpřipravených skriptů a funkcí, jež si můžete stáhnout ze stránek předmětu na

<https://zolotarev.fd.cvut.cz/mamy/static/2023/mamy-2023-c-03.zip>.

Balíček `mamy-2023-c-03.zip` obsahuje pro vaše pohodlí implementaci základních numerických metod pro řešení ODR a souborů pro experimenty s PID regulátorem, které budeme potřebovat později:

- ▶ `ode1.m`
- ▶ `piw.m` – požadovaný průběh vstupů
- ▶ `piz.m` – simulace poruchy
- ▶ `pidemo.m` – šablona M-souboru k doplnění

Formát zápisu diferenciální rovnice

Příklad volání `ode45`

Knihovní metoda `ode45()` numericky řeší soustavu ODR, popsanou M-funkcí, s proměnným integračním krokem h_k určeným automaticky, pro daný interval hodnot parametru t a daný vektor počátečních podmínek:

```
[t,y] = ode45(@odefun,tspan,y0)
```

kde vstupní parametry jsou

`odefun` ... funkce $\mathbf{y}' = \mathbf{f}(t, \mathbf{y})$ se signaturou `dy=odefun(t,y)` reprezentující soustavu ODR; zápis `@odefun` je odkaz na danou funkci

`tspan` ... explicitně dané časové kroky t_k nebo interval $\langle t_0, t_n \rangle$

`y0` ... vektor počátečních podmínek \mathbf{y}_0

Formát zápisu diferenciální rovnice

Příklad volání `ode45`

Knihovní metoda `ode45()` numericky řeší soustavu ODR, popsanou M-funkcí, s proměnným integračním krokem h_k určeným automaticky, pro daný interval hodnot parametru t a daný vektor počátečních podmínek:

```
[t,y] = ode45(@odefun,tspan,y0)
```

kde výstupní parametry jsou

t ... vektor (nerovnoměrných) časových značek t_k

y ... matice výstupních hodnot \mathbf{y}_k , po sloupcích

Ovečky a vlci

Viz přednáška ...

Ovečky a vlci

Bača

Příklad můžeme ještě zkomplikovat tak, že do modelu zahrneme baču, který v rámci péče o stádo sem tam zastřelí nějakého vlka a sem tam nějakou ovci porazí, aby měl skopové.

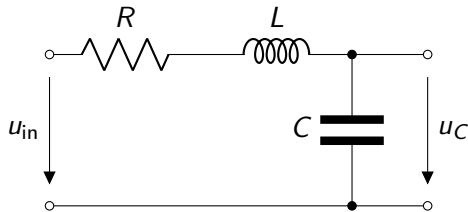
Paradoxně se může ukázat, že i když bača ujídá, tak pokud je schopen vlky dostatečně eliminovat, stádo se díky tomu rozroste na vyšší počet kusů – ovšem jen do té doby, než plně zaúřadují vlci.

Bača, pokud jeho vliv v rovnici vývoje stavu nepostihneme korektně, způsobí také to, že počty ovcí nebo vlků klesnou výrazně do záporná. I to lze ale v modelové funkci ošetřit vhodnými podmínkami.

RLC filtr

Uvažujme RLC obvod v následujícím zapojení:

$$\begin{aligned}\frac{d}{dt}i_L(t) &= -\frac{R}{L}i_L(t) - \frac{1}{L}u_C(t) + \frac{1}{L}u_{in}(t) \\ \frac{d}{dt}u_C(t) &= \frac{1}{C}i_L(t)\end{aligned}$$



Jde o lineární dynamický systém se stavem $\mathbf{x}(t) = (i_L(t), u_C(t))^T$, jehož rovnice vývoje stavu je

$$\begin{aligned}\frac{d}{dt} \begin{bmatrix} i_L(t) \\ u_C(t) \end{bmatrix} &= \begin{bmatrix} -\frac{R}{L} & -\frac{1}{L} \\ \frac{1}{C} & 0 \end{bmatrix} \begin{bmatrix} i_L(t) \\ u_C(t) \end{bmatrix} + \begin{bmatrix} \frac{1}{L} \\ 0 \end{bmatrix} u_{in}(t) \\ \mathbf{x}'(t) &= \mathbf{Ax}(t) + \mathbf{b}u_{in}(t)\end{aligned}$$

RLC filtr

Zápis soustavy ODR v Matlabu

Model soustavy uložíme ve formě $\mathbf{x}' = \mathbf{f}(t, \mathbf{x}, \dots)$ do `rlc.m`:

```
function dxdt=rlc(t,x,u_in,A,b) % u_in(tau) je funkce!  
    dxdt = ...;  
end
```

RLC filtr

Zápis soustavy ODR v Matlabu

Model soustavy uložíme ve formě $\mathbf{x}' = \mathbf{f}(t, \mathbf{x}, \dots)$ do `rlc.m`:

```
function dxdt=rlc(t,x,u_in,A,b) % u_in(tau) je funkce!  
    dxdt = A*x + b*u_in(t);  
end
```

Analogicky s příkladem z minulého cvičení převdeme `dxdt=rlc(t,x,u_in,A,B)` na `dxdt=odefunc(t,x)`, abychom mohli použít odpovídající ODR řešiče v Matlabu.

RLC filtr

Zápis soustavy ODR v Matlabu

Model soustavy uložíme ve formě $\mathbf{x}' = \mathbf{f}(t, \mathbf{x}, \dots)$ do `rlc.m`:

```
function dxdt=rlc(t,x,u_in,A,b) % u_in(tau) je funkce!  
    dxdt = A*x + b*u_in(t);  
end
```

Analogicky s příkladem z minulého cvičení převdeme `dxdt=rlc(t,x,u_in,A,B)` na `dxdt=odefunc(t,x)`, abychom mohli použít odpovídající ODR řešiče v Matlabu.

Použijeme tzv. **anonymní funkci**:

```
A = ...; % zadáme prvky matice A  
b = ...; % definujeme vektor q  
% Odkážeme se na funkci u_in(t)=rlcu(t)  
odefunc = @(t,x) rlc(t,x,@rlcu,A,b); % A,b jsou konstanty
```

RLC filtr ($R = 10\text{ k}\Omega$, $L = 100\text{ mH}$, $C = 100\text{ }\mu\text{F}$)

```
clear all; close all;
% Parametry obvodu
R = ...; L = ...; C = ...; % Ohmů, Henry, Faradů
t0 = 0; tn = 10; % Doba řešení
% Matice modelu obvodu
A = ...; % zadáme prvky matice A
b = ...; % definujeme vektor b
x0 = [0;0]; % Počáteční podmínky
% Diferenciální rovnice
odefunc = @(t,x) rlc(t,x,@rlcu,A,b);
% Řešení
[t,x] = ode45(odefunc, [t0 tn], x0);
% Obrázek
f = figure(1);
subplot(...); plot(...); legend(...); xlabel(...); ylabel(...);
```

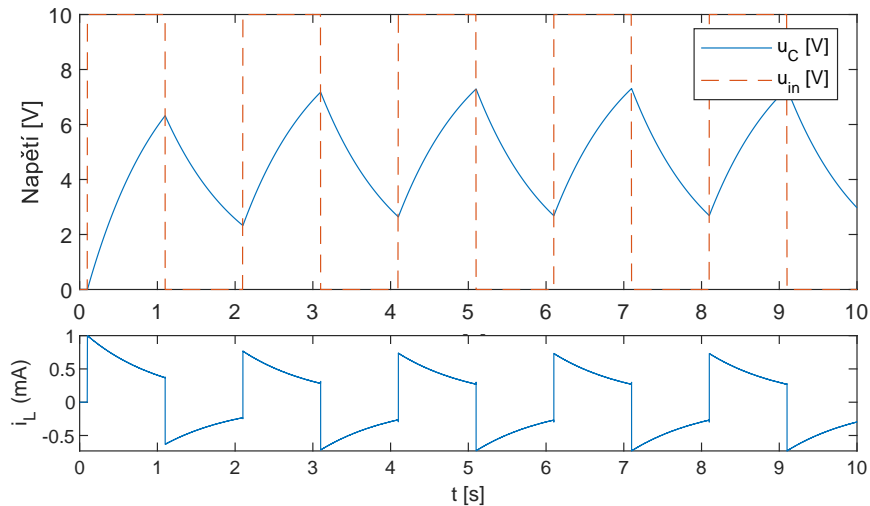
RLC filtr ($R = 10\text{ k}\Omega$, $L = 100\text{ mH}$, $C = 100\text{ }\mu\text{F}$)

```
clear all; close all;
% Parametry obvodu
R = 10000; L = 0.1; C = 1e-4; % Ohmů, Henry, Faradů
t0 = 0; tn = 10; % Doba řešení
% Matice modelu obvodu
A = [-R/L -1/L; 1/C 0]; % prvky matice A
b = [1/L; 0]; % definujeme vektor b
x0 = [0;0]; % Počáteční podmínky
% Diferenciální rovnice
odefunc = @(t,x) rlc(t,x,@rlcu,A,b);
% Řešení
[t,x] = ode45(odefunc, [t0 tn], x0);
% Obrázek
f = figure(1);
%% (... pokračuje)
```

RLC filtr ($R = 10 \text{ k}\Omega$, $L = 100 \text{ mH}$, $C = 100 \mu\text{F}$)

```
%% (pokračuje ...)  
% Obrázek  
f = figure(1);  
subplot(3, 1, [1 2]); % 2x výška  
plot(t, x(:,2), t, rlc_u(t), '--');  
ylabel('Napětí [V]');  
xlabel('t [s]');  
legend({'u_C [V]', 'u_{in} [V]'});  
%  
subplot(3,1,3);  
plot(t,x(:,1)*1000);  
xlabel('t [s]');  
ylabel('i_L (mA)');
```

RLC filtr ($R = 10\text{ k}\Omega$, $L = 100\text{ mH}$, $C = 100\text{ }\mu\text{F}$)



Stabilita Eulerovy metody

Příklad „tuhé“ ODR

Nedostatky Eulerovy metody demonstrujeme na ODR tvaru

$$y'(t) = -15y(t), \quad y(0) = 1 \quad \Leftrightarrow \quad y(t) = e^{-15t}.$$

Funkci nejprve implementujeme jako `dydt=fstiff(t,y)` v `fstiff.m`:

```
function dydt = fstiff(t,y)
    dydt = ... % Doplňte sami
end
```


Stabilita Eulerovy metody

Příklad „tuhé“ ODR

Nedostatky Eulerovy metody demonstrujeme na ODR tvaru

$$y'(t) = -15y(t), \quad y(0) = 1 \quad \Leftrightarrow \quad y(t) = e^{-15t}.$$

Funkci nejprve implementujeme jako `dydt=fstiff(t,y)` v `fstiff.m`:

```
function dydt = fstiff(~,y) % první parametr ignorujeme
    dydt = -15*y;
end
```

Stabilita Eulerovy metody

Příklad „tuhé“ ODR

Nedostatky Eulerovy metody demonstrujeme na ODR tvaru

$$y'(t) = -15y(t), \quad y(0) = 1 \quad \Leftrightarrow \quad y(t) = e^{-15t}.$$

Funkci nejprve implementujeme jako `dydt=fstiff(t,y)` v `fstiff.m`:

```
function dydt = fstiff(~,y) % první parametr ignorujeme
    dydt = -15*y;
end
```

Úlohu budeme řešit metodou `ode1()` pro $t_0 = 0$, $t_n = 1$ a pro kroky $h \in (1/4, 1/8, 1/16)$. Výsledné průběhy řešení porovnáme s „přesným“ řešením.

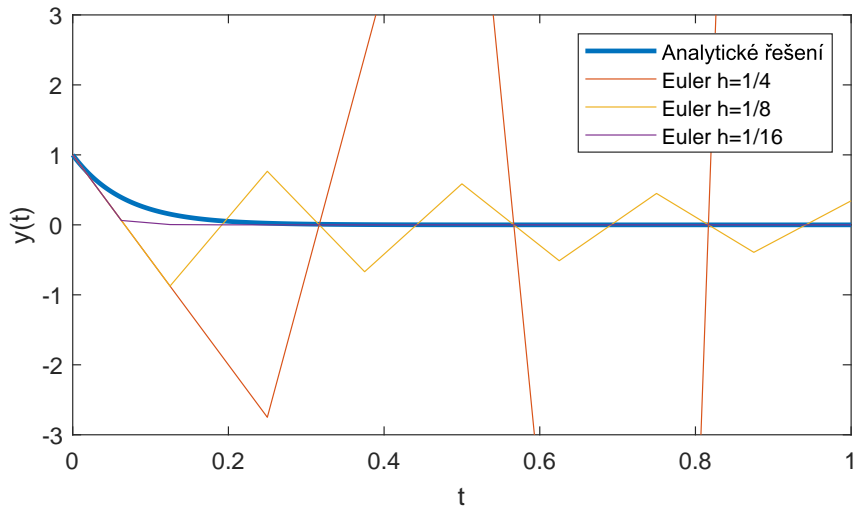
Stabilita Eulerovy metody

```
clear all; close all;
% Euler, různé kroky
[t4,y4] = ode1(...); % Jak voláme ode1()? Jaký krok?
[t8,y8] = ode1(...); % Jaký krok?
[t16,y16] = ode1(...); % Jaký krok?
% "Přesné" řešení
t = ...; % Rovnoměrně 1000 bodů mezi 0 a 1
y = ...; % Výpočet známé y(t) podle t
% Obrázek
f = figure(1);
plot(...); % Jak vykreslíme 4 průběhy s jinými t?
ylim([-3, 3]); % Abychom viděli okolí přesného řešení
legend(...);
xlabel(...);
ylabel(...);
```

Stabilita Eulerovy metody

```
clear all; close all;
% Euler, různé kroky
t0 = 0; tn = 1; y0 = 1; % Parametry
[t4,y4] = ode1(@fstiff, t0, 1/4, tn, y0); % h = 1/4
[t8,y8] = ode1(@fstiff, t0, 1/8, tn, y0); % h = 1/8
[t16,y16] = ode1(@fstiff, t0, 1/16, tn, y0); % h = 1/16
% "Přesné" řešení
t = linspace(0,1,1000); y = exp(-15*t);
% Obrázek
f = figure(1);
plot(t, y, t4, y4, t8, y8, t16, y16);
ylim([-3, 3]);
legend('Analytické řešení', 'Euler_h=1/4', 'Euler_h=1/8', 'Euler_h=1/16');
xlabel('t'); ylabel('y(t)');
```

Stabilita Eulerovy metody



Stabilita Eulerovy metody

Proč dochází k oscilacím?

Z přednášek víme, že řešení v jednotlivých krocích leží na průbězích odpovídajícím jiným počátečním podmínkám úlohy, než byly ty původně zadané.

Pro krok $h = 1/8$ máme pouze první pár hodnot (t_0, y_0) správně. **Q:** Proč?

Stabilita Eulerovy metody

Proč dochází k oscilacím?

Z přednášek víme, že řešení v jednotlivých krocích leží na průbězích odpovídajícím jiným počátečním podmínkám úlohy, než byly ty původně zadané.

Pro krok $h = 1/8$ máme pouze první pár hodnot (t_0, y_0) správně. **Q:** Proč? **A:** Protože y_0 je počáteční podmínka.

Stabilita Eulerovy metody

Proč dochází k oscilacím?

Z přednášek víme, že řešení v jednotlivých krocích leží na průbězích odpovídajícím jiným počátečním podmínkám úlohy, než byly ty původně zadané.

Pro krok $h = 1/8$ máme pouze první pár hodnot (t_0, y_0) správně. **Q:** Proč? **A:** Protože y_0 je počáteční podmínka.

Ostatní hodnoty y_1, y_2, \dots, y_8 jsou velmi nepřesné, protože odpovídají polohám řešení rovnice $y' = -15y$ pro jiné počáteční podmínky, jde tedy o funkce

$$y_i(t) = c_i y(t) = c_i \cdot e^{-15t}, \quad i = 1, 2, \dots, 8.$$

Stabilita Eulerovy metody

Proč dochází k oscilacím?

Z přednášek víme, že řešení v jednotlivých krocích leží na průbězích odpovídajícím jiným počátečním podmínkám úlohy, než byly ty původně zadané.

Pro krok $h = 1/8$ máme pouze první pár hodnot (t_0, y_0) správně. **Q:** Proč? **A:** Protože y_0 je počáteční podmínka.

Ostatní hodnoty y_1, y_2, \dots, y_8 jsou velmi nepřesné, protože odpovídají polohám řešení rovnice $y' = -15y$ pro jiné počáteční podmínky, jde tedy o funkce

$$y_i(t) = c_i y(t) = c_i \cdot e^{-15t}, \quad i = 1, 2, \dots, 8.$$

Nakresleme si v Matlabu ilustrační obrázek: Koeficienty c_i dokážeme spočítat z hodnot (t_1, y_1) až (t_8, y_8) . **Q:** Jak?

Stabilita Eulerovy metody

Proč dochází k oscilacím?

Z přednášek víme, že řešení v jednotlivých krocích leží na průbězích odpovídajícím jiným počátečním podmínkám úlohy, než byly ty původně zadané.

Pro krok $h = 1/8$ máme pouze první pár hodnot (t_0, y_0) správně. **Q:** Proč? **A:** Protože y_0 je počáteční podmínka.

Ostatní hodnoty y_1, y_2, \dots, y_8 jsou velmi nepřesné, protože odpovídají polohám řešení rovnice $y' = -15y$ pro jiné počáteční podmínky, jde tedy o funkce

$$y_i(t) = c_i y(t) = c_i \cdot e^{-15t}, \quad i = 1, 2, \dots, 8.$$

Nakresleme si v Matlabu ilustrační obrázek: Koeficienty c_i dokážeme spočítat z hodnot (t_1, y_1) až (t_8, y_8) . **Q:** Jak? **A:** $y_i = c_i \exp(-15t_i)$ takže $c_i = y_i / \exp(-15t_i)$.

Stabilita Eulerovy metody

Vykreslení průběhu nepřesných řešení

```
clear all; close all;
% Euler, krok pouze 1/8
[t8,y8] = ode1(...); % Viz minulý příklad
% "Přesné" řešení
t = ...; % Viz minulý příklad
y = ...; % Viz minulý příklad
% Dopočet c_1 až c_8
c = zeros(1,8);
for i = 2:9 % Matlab indexuje y od 1! y_1 je y(2)!
    c(i-1) = .../...; % Pro i=2 máme c_1, zmatek ...
end
%% Ještě bude pokračovat dále
```

Stabilita Eulerovy metody

Vykreslení průběhu nepřesných řešení

```
clear all; close all;
% Euler, krok pouze 1/8
[t8,y8] = ode1(@fstiff, 0, 1/8, 1, 1); % Viz minulý příklad
% "Přesné" řešení
t = linspace(0,1,1000);
y = exp(-15*t);
% Dopočet c_1 až c_8
c = zeros(1,8);
for i = 2:9 % Matlab indexuje y od 1! y_1 je y(2)!
    c(i-1) = y8(i)/exp(-15*t8(i)); % Pro i=2 máme c_1, zmatek ...
end
%% Ještě bude pokračovat dále
```

Stabilita Eulerovy metody

Vykreslení průběhu nepřesných řešení

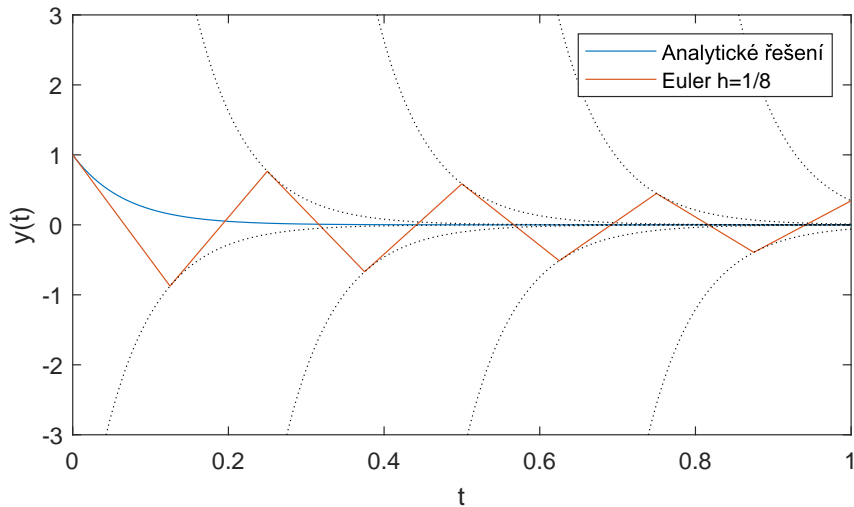
```
% Obrázek
f = figure(1);
plot(t, y, t8, y8); % Přesné a Eulerovo řešení s krokem 1/8
hold on; % Nemaž původně vykreslené
for i = 1:8 % Vykresli průběhy nepřesných řešení
    plot(...); % Jednotlivé  $c_i \cdot y(t)$  černě tečkovaně
end
hold off; % Další plot() už zase maže
ylim([-3, 3]); % Stále kvůli přehlednosti
legend('Analytické řešení', 'Euler_h=1/8');
xlabel('t');
ylabel('y(t)');
```

Stabilita Eulerovy metody

Vykreslení průběhu nepřesných řešení

```
% Obrázek
f = figure(1);
plot(t, y, t8, y8); % Přesné a Eulerovo řešení s krokem 1/8
hold on; % Nemaž původně vykreslené
for i = 1:8
    plot(t, c(i)*y, ':k'); % Jednotlivé  $c_i * y(t)$  černě tečkovaně
end
hold off; % Další plot() už zase maže
ylim([-3, 3]); % Stále kvůli přehlednosti
legend('Analytické řešení', 'Euler_h=1/8');
xlabel('t');
ylabel('y(t)');
```

Nepřesná řešení u Eulerovy metody



Implicitní a explicitní Eulerova metoda

Jako závěrečný experiment s Eulerovou metodou porovnejme řešení ODR

$$y'(t) = -15y(t), \quad y(0) = 1$$

explicitní Eulerovou metodou `ode1()` a implicitní Eulerovou metodou `ode1i()` s krokem $h = 1/4$.

Z přednášek víme, že implicitní Eulerova metoda je pro stabilní ODR metodou *bezpodmínečně stabilní*, nemá omezení na velikost integračního kroku h a měla by tedy i pro $h = 1/4$ poskytnout snesitelně přesné řešení.

Q: V čem spočívá nevýhoda explicitních metod?

Implicitní a explicitní Eulerova metoda

Jako závěrečný experiment s Eulerovou metodou porovnejme řešení ODR

$$y'(t) = -15y(t), \quad y(0) = 1$$

explicitní Eulerovou metodou `ode1()` a implicitní Eulerovou metodou `ode1i()` s krokem $h = 1/4$.

Z přednášek víme, že implicitní Eulerova metoda je pro stabilní ODR metodou *bezpodmínečně stabilní*, nemá omezení na velikost integračního kroku h a měla by tedy i pro $h = 1/4$ poskytnout snesitelně přesné řešení.

Q: V čem spočívá nevýhoda explicitních metod?

A: Jsou výpočetně náročné, protože v každém kroku k navíc numericky řešíme nelineární rovnici pro \mathbf{y}_{k+1} .

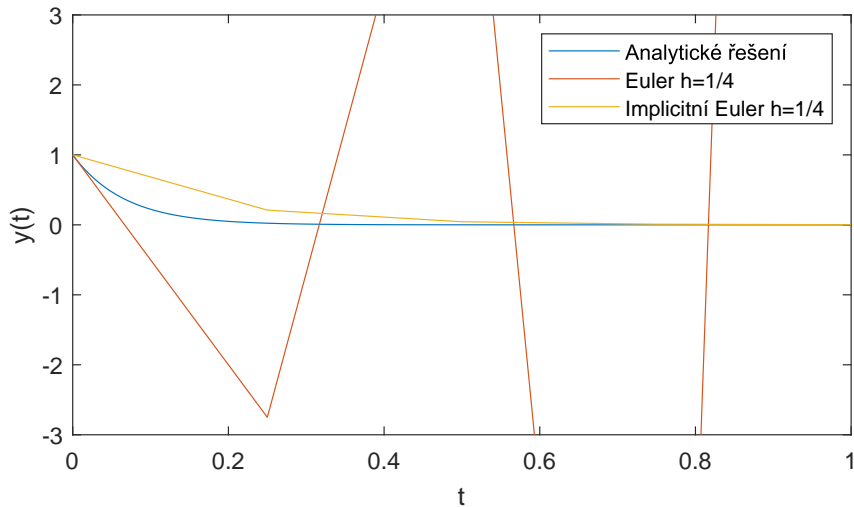
Implicitní a explicitní Eulerova metoda

```
clear all; close all;
% Euler, krok pouze 1/4
t0 = ...; tn = ...; y0 = ...; % Parametry
[t4e,y4e] = ode1(...); % Explicitní, viz minulý příklad
[t4i,y4i] = ode1i(...); % Implicitní, stejné parametry
% "Přesné" řešení
t = ...; % Viz minulý příklad
y = ...; % Viz minulý příklad
% Obrázek
f = figure(1);
plot(...); % Opět snad už umíme...
ylim([-3, 3]); % Abychom viděli okolí přesného řešení
legend(...);
xlabel(...);
ylabel(...);
```

Implicitní a explicitní Eulerova metoda

```
clear all; close all;
% Euler, krok pouze 1/4
t0 = 0; tn = 1; y0 = 1; % Parametry
[t4e,y4e] = ode1(@fstiff, t0, 1/4, tn, y0); % Explicitní
[t4i,y4i] = ode1i(@fstiff, t0, 1/4, tn, y0); % Implicitní
% "Přesné" řešení
t = linspace(0,1,1000);
y = exp(-15*t);
% Obrázek
f = figure(1);
plot(t, y, t4e, y4e, t4i, y4i);
ylim([-3, 3]);
legend('Analytické řešení', 'Euler_h=1/4', 'Implicitní Euler_h=1/4');
xlabel('t');
ylabel('y(t)');
```

Implicitní a explicitní Eulerova metoda



Dodatky

Lorenzův atraktor

Lorenzův atraktor je popsán soustavou

$$x'(t) = a(y(t) - x(t))$$

$$y'(t) = x(t)(b - z(t)) - y(t)$$

$$z'(t) = c z(t) + x(t)y(t)$$

s parametry například $a = 10$, $b = 28$, $c = \frac{8}{3}$ a počátečními podmínkami například $x(0) = 5$, $y(0) = 5$, $z(0) = 5$.

Převeďte tento zápis do formy funkce `dsdt=lorenz(t,s)` se stavovým vektorem **s**, použitelné jako `odeset` v Matlabu, vyřeště pomocí `ode45` a vykreslete trajektorii.

Lorenzův atraktor

Funkce

```
function sdot = lorenz(t, s, a, b, c)
% LORENZ Stavové rovnice Lorenzova atraktoru
% Params e.g. a = 10, b = 28, c = 8/3.

    sdot = [ ...;
            ...;
            ... ];
end
```

Lorenzův atraktor

Funkce

```
function sdot = lorenz(t, s, a, b, c)
% LORENZ Stavové rovnice Lorenzova atraktoru
% Params e.g. a = 10, b = 28, c = 8/3.

    sdot = [ -a*s(1) + a*s(2);
             b*s(1) - s(2) - s(1)*s(3);
             -c*s(3) + s(1)*s(2) ];

end
```


Lorenzův atraktor

Funkce

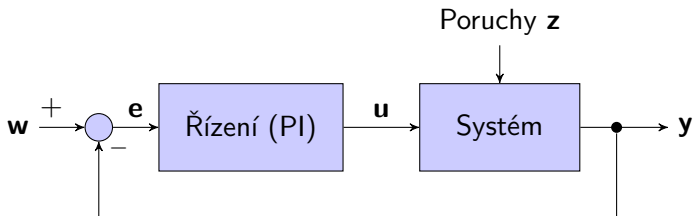
Vypočteme standardně pomocí `ode45`. Výstupem je matice o třech sloupcích, reprezentujících polohu stavového bodu dynamického systému v třírozměrném prostoru.

Vykreslíme pomocí `plot3`:

```
plot3(...);
```

Simulace obvodu s PI regulátorem

Budeme pracovat s modelem následujícího obvodu:

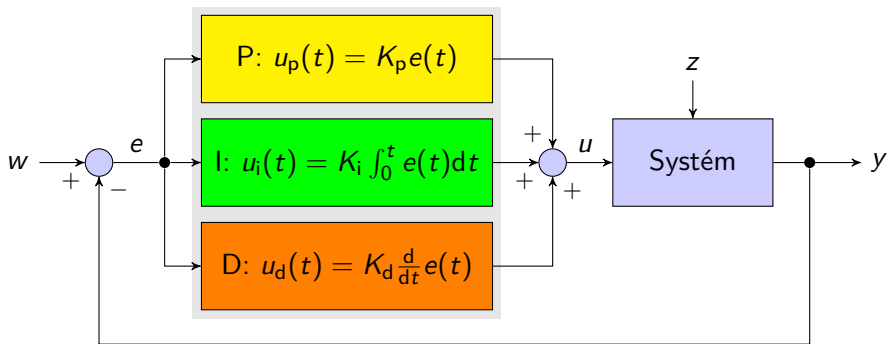


Vlastní regulovaný systém sestává z dvou aperiodických bloků prvního řádu, zapojených sériově. Poruchová veličina z představuje škálovaný jednotkový skok. Chceme zjistit, jak systém po poruše udrží požadovanou hodnotu výstupu y .

Simulace obvodu s PI regulátorem

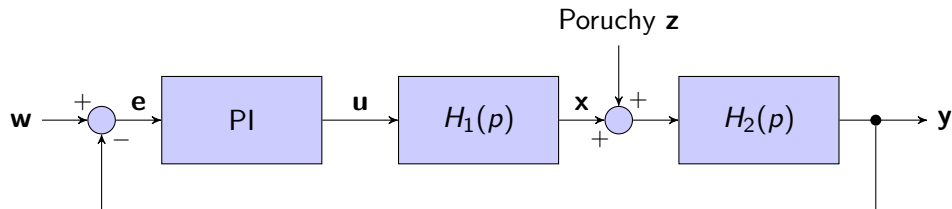
PID regulátor

Připomeňme si, že PI regulátor je ořezanou formou PID regulátoru, jehož zpětnovazebné zapojení pro jednu řídicí veličinu vypadá přibližně takto:



Simulace obvodu s PI regulátorem

Modelovaný obvod

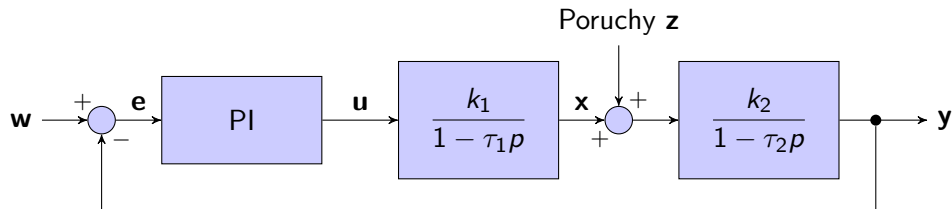


Obvod sestává z

- ▶ PI regulátoru s konstantami K_r a τ_i a ze
- ▶ dvou bloků prvního řádu s exponenciální odezvou, definovanou zesíleními k_1 a k_2 a časovými konstantami τ_1 a τ_2 .

Simulace obvodu s PI regulátorem

Modelovaný obvod



Bloky jsou reprezentovány funkcemi

$$-\tau_1 x'(t) + x(t) = k_1 u(t),$$

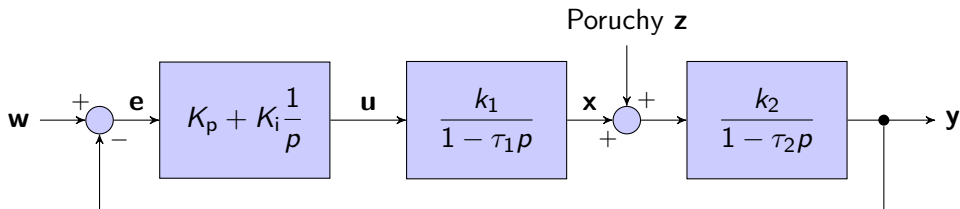
$$x'(t) = \frac{1}{\tau_1} [x(t) - k_1 u(t)]$$

$$-\tau_2 y'(t) + y(t) = k_2 [x(t) + z(t)]$$

$$y'(t) = \frac{1}{\tau_2} [y(t) - k_2 x(t) - k_2 z(t)]$$

Simulace obvodu s PI regulátorem

Modelovaný obvod



PI regulátoru odpovídá rovnice

$$u(t) = K_p e(t) + K_i \int_0^t e(\tau) d\tau$$

$$u(t)' = K_p e'(t) + K_i e(t)$$

$$u(t)' = -(1 + K_p)y'(t) - \frac{1}{\tau_i}u(t)$$

Simulace obvodu s PI regulátorem

Soustava ODR

Model obvodu zahrnuje tři komponenty $x(t)$, $y(t)$ a $u(t)$:

$$x'(t) = \frac{1}{\tau_1}x(t) - \frac{k_1}{\tau_1}u(t) \quad \text{výstup prvního bloku}$$

$$y'(t) = -\frac{k_2}{\tau_2}x(t) + \frac{1}{\tau_2}y(t) - \frac{k_2}{\tau_2}z(t) \quad \text{výstup systému}$$

$$u'(t) = -(1 + K_p)y'(t) - \frac{1}{\tau_i}u(t) \quad \text{výstup PI řízení}$$

Simulace obvodu s PI regulátorem

Soustava ODR v maticové formě

Model obvodu je lineární a v maticové formě lze zapsat ve stavovém prostoru se stavovým vektorem $\mathbf{x} = (x, y, u)^T$ jako

$$\mathbf{x}'(t) = \mathbf{A}\mathbf{x}(t) + \mathbf{q}z(t) + \mathbf{r}e(t)$$

kde

$$\mathbf{A} = \begin{bmatrix} -1/\tau_1 & 0 & k_1/\tau_1 \\ k_2/\tau_2 & -1/\tau_2 & 0 \\ 0 & 0 & 0 \end{bmatrix}, \quad \mathbf{q} = \begin{bmatrix} 0 \\ -k_2/\tau_2 \\ 0 \end{bmatrix}, \quad \mathbf{r} = \begin{bmatrix} K_r k_2/\tau_2 \\ 0 \\ K_r/\tau_i \end{bmatrix}.$$

Q: Jaký přesně je vztah K_r (zesílení regulátoru), τ_i (časové konstanty integračního regulátoru) a konstant K_p a K_i ?

Simulace obvodu s PI regulátorem

Soustava ODR v maticové formě

Model obvodu je lineární a v maticové formě lze zapsat ve stavovém prostoru se stavovým vektorem $\mathbf{x} = (x, y, u)^T$ jako

$$\mathbf{x}'(t) = \mathbf{A}\mathbf{x}(t) + \mathbf{q}z(t) + \mathbf{r}e(t)$$

kde

$$\mathbf{A} = \begin{bmatrix} -1/\tau_1 & 0 & k_1/\tau_1 \\ k_2/\tau_2 & -1/\tau_2 & 0 \\ 0 & 0 & 0 \end{bmatrix}, \quad \mathbf{q} = \begin{bmatrix} 0 \\ -k_2/\tau_2 \\ 0 \end{bmatrix}, \quad \mathbf{r} = \begin{bmatrix} K_r k_2/\tau_2 \\ 0 \\ K_r/\tau_i \end{bmatrix}.$$

Q: Jaký přesně je vztah K_r (zesílení regulátoru), τ_i (časové konstanty integračního regulátoru) a konstant K_p a K_i ?

A: Dvě různé formulace PID: $K_p = K_r$, $K_i = K_r/\tau_i$.

Simulace obvodu s PI regulátorem

Zápis soustavy ODR v Matlabu

Model soustavy uložíme ve formě $\mathbf{x}' = \mathbf{f}(t, \mathbf{x}, \dots)$ do `pictrl.m`:

```
function dxdt=pictrl(t,x,w,z,A,q,r) % w(tau), z(tau) jsou funkce!  
    dxdt = ...;  
end
```

Simulace obvodu s PI regulátorem

Zápis soustavy ODR v Matlabu

Model soustavy uložíme ve formě $\mathbf{x}' = \mathbf{f}(t, \mathbf{x}, \dots)$ do `pictrl.m`:

```
function dxdt=pictrl(t,x,w,z,A,q,r) % w(tau), z(tau) jsou funkce!  
    dxdt = A*x + q*z(t) + r*(w(t)-x(2));  
end
```

Bude třeba nějak převést `dxdt=pictrl(t,x,w,z,A,q,r)` na `dxdt=odefunc(t,x)`,
abychom mohli použít odpovídající ODR řešiče v Matlabu.

Simulace obvodu s PI regulátorem

Zápis soustavy ODR v Matlabu

Model soustavy uložíme ve formě $\mathbf{x}' = \mathbf{f}(t, \mathbf{x}, \dots)$ do `pictrl.m`:

```
function dxdt=pictrl(t,x,w,z,A,q,r) % w(tau), z(tau) jsou funkce!  
    dxdt = A*x + q*z(t) + r*(w(t)-x(2));  
end
```

Bude třeba nějak převést `dxdt=pictrl(t,x,w,z,A,q,r)` na `dxdt=odefunc(t,x)`, abychom mohli použít odpovídající ODR řešiče v Matlabu.

Použijeme tzv. **anonymní funkci**:

```
A = ...; % zadáme prvky matice A  
q = ...; % definujeme vektor q  
r = ...; % definujeme vektor r  
% Odkážeme se na funkce w(t)=piw(t) a z(t)=piz(t)  
odefunc = @(t,y) pictrl(t,x,@piw,@piz,A,q,r); % A,q,r jsou konstanty
```

Simulace obvodu s PI regulátorem

Funkce $w(t)$ a $z(t)$

Funkce reprezentující řídicí vstup w a poruchu z jsou dány jako

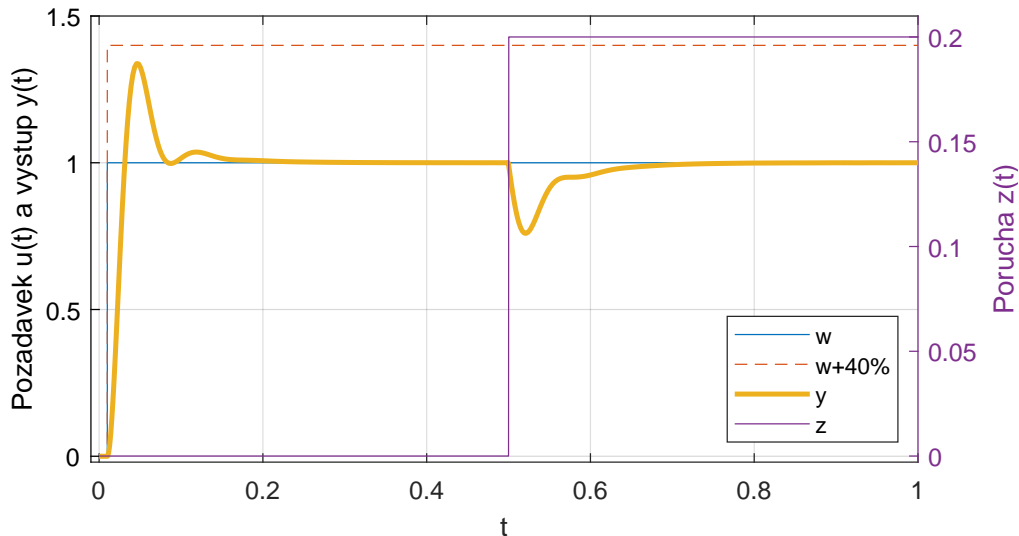
$$w(t) = \mathbb{1}(t - 0,005) \quad z(t) = 0,2 \mathbb{1}(t - 0,5)$$

a máte je k dispozici jako `piw()` a `piz()`.

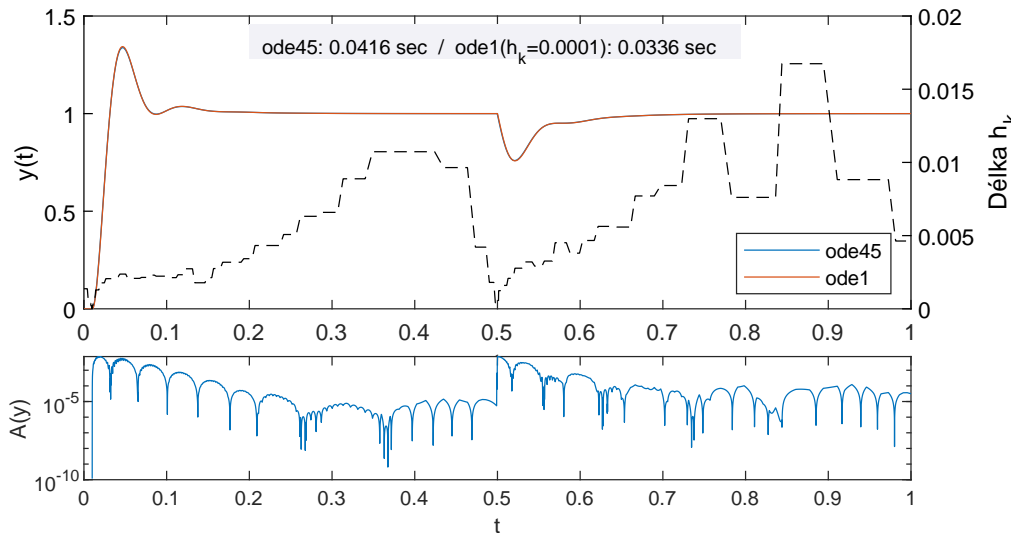
Pro urychlení práce máte také připraven k doplnění skript `pidemo.m`, v němž je třeba doplnit označené části kódu:

- ▶ Zkonstruovat matici **A** a vektory **q** a **r**
- ▶ Doplnit definici anonymní funkce `odefunc()`
- ▶ Určit odpovídající hodnoty $w(t)$ a $z(t)$ pro t dané výstupem `ode45()`

Vstup a výstup PI



Velikost kroku ODE45 a rozdíl s ODE1



Harmonické kmity

Použít a porovnat `ode1()`, `ode1i()`, `ode2h()`, `ode2m()`, `ode4()` a `ode45()` na řešení kmitů RLC obvodu v `harmonic.m`.

SIR model

Porovnat řešení SIR modelu pomoc `ode1()`, `ode1i()`, `ode2h()`, `ode2m()`, `ode4()` a `ode45()` a původního řešení z prvního cvičení.

Model epidemie je v `sirfunc.m`.